

T-Mobile Polska S.A.
ul. Marynarska 12
02-674 Warszawa

Starostwo Powiatowe w Będzinie
ul. Jana Sączewskiego 6
42-500 Będzin

Dotyczy: ustawowego obowiązku, wynikającego z art. 152 ust. 1 i ust. 7 w związku z ust. 6 pkt 1c ustawy z dnia 27 kwietnia 2001r – Prawo ochrony środowiska (Dz.U. 2022 poz. 2556).

Działając z upoważnienia T-Mobile Polska S.A. z siedzibą ul. Marynarska 12, 02-674 Warszawa, informuję o zmianie danych w zakresie wielkości i rodzaju emisji dla instalacji radiokomunikacyjnej **50209 (32209N!) KKA_BEDZIN_PLAC3MAJA** zlokalizowanej w miejscowości BĘDZIN, STANISŁAWA MAŁACHOWSKIEGO 7. W stosunku do informacji zawartej w zgłoszeniu realizowanym dla tej instalacji w trybie art. 152 ust. 1 i 5 ustawy z dnia 27 kwietnia 2001r – Prawo ochrony środowiska (Dz.U. 2022 poz. 2556), dane ulegają zmianie w następujący sposób:

9. Wielkość i rodzaj emisji²⁾:

Pole elektromagnetyczne. EIRP poszczególnych anten zostało podane w pkt 12, tj.

Lp.	Równoważna moc promieniowana izotropowo (EIRP) [W]
1.	5957
2.	9185
3.	9895
4.	7382
5.	1919
6.	9864
7.	7382
8.	1919
9.	9864
10.	15

12. Szczegółowe dane, odpowiednio do rodzaju instalacji, zgodne z wymaganiami określonymi w załączniku nr 2 do Rozporządzenia:

Lp.	1)	2)	3)	4)	5)	
	Współrzędne geograficzne	Częstotliwość lub zakresy częstotliwości pracy instalacji [MHz]	Wysokość środka elektrycznego anteny [m n.p.t.]	Równoważna moc promieniowana izotropowo (EIRP) [W]	Azymut [°]	Kąt pochylenia lub zakresy kątów pochylenia [°]
1.	19°8'1.66" 50°19'23.34"	800/900	30.5	5957	100	4/5
2.	19°8'1.65" 50°19'23.32"	2600	30.5	9185	100	4
3.	19°8'1.59" 50°19'23.19"	1800/2100	30.5	9895	100	4/4
4.	19°8'1.57" 50°19'23.18"	1800/2100	28.2	7382	220	3/3
5.	19°8'1.41" 50°19'23.29"	900	30.5	1919	220	4
6.	19°8'1.57" 50°19'23.18"	800/2600	30.5	9864	220	4/4
7.	19°8'1.64" 50°19'23.35"	1800/2100	28.2	7382	325	1/1
8.	19°8'1.63" 50°19'23.35"	900	30.5	1919	325	2
9.	19°8'1.41" 50°19'23.3"	800/2600	30.5	9864	325	2/2
10.	19°8'1.55" 50°19'23.19"	38000	29	15	240*	nd.

*) tolerancja azymutu od -10° do + 10°.

Informuję, iż dokonane zmiany w zakresie wielkości i rodzaju emisji przedmiotowej instalacji nie powodują zmiany instalacji w sposób istotny zgodnie z art. 3 pkt 7 ustawy Poś.

W załączniku przesyłam:

1. Pełnomocnictwo
2. Kopia potwierdzenia wniesienia opłaty skarbowej.
3. Sprawozdanie z pomiarów pól elektromagnetycznych wykonanych dla celów ochrony środowiska.

Otrzymują:

1. a/a
2. adresat



Laboratorium Badań Środowiskowych
ul. Józefa Piusa Dziekońskiego 3
00-728 Warszawa
e-mail: Laboratorium@networks.pl



AB 419

S P R A W O Z D A N I E 122/2023/OS
Z POMIARÓW PÓL ELEKTROMAGNETYCZNYCH
WYKONANYCH DLA POTRZEB OCHRONY ŚRODOWISKA

Badany obiekt: Instalacja radiokomunikacyjna T-Mobile Polska S.A.

Numer i nazwa: 50209 (32209N!) KKA_BEDZIN_PLAC3MAJA

Adres: BĘDZIN, STANISŁAWA MAŁACHOWSKIEGO 7, Powiat będziński, WOJ. ŚLĄSKIE

Data wykonania pomiarów: 2023-02-10

Sprawozdanie z badań bez pisemnej zgody laboratorium nie może być powielane inaczej niż w całości.
Wynik przedstawione w niniejszym sprawozdaniu odnoszą się wyłącznie do badanego obiektu i do warunków i konfiguracji urządzeń w dniu wykonywania pomiarów.

1. Właściciel badanego obiektu:

T-Mobile Polska S.A., ul. Marynarska 12, 02-674 Warszawa

2. Zleceniodawca:

T-Mobile Polska S.A., ul. Marynarska 12, 02-674 Warszawa

3. Przedstawiciel zleceniodawcy:

NetWorkS! Sp.z o.o.

4. Zakres zlecenia:

Wykonanie badania i opracowanie sprawozdania z pomiarów natężenia pola elektrycznego i pola magnetycznego dla instalacji radiokomunikacyjnej T-Mobile Polska S.A. zlokalizowanej w miejscowości BĘDZIN, STANISŁAWA MAŁACHOWSKIEGO 7.

5. Cel zlecenia:

Wykonanie pomiarów pól elektromagnetycznych w otoczeniu instalacji radiokomunikacyjnej 50209 (32209N!) KKA_BEDZIN_PLAC3MAJA w odniesieniu do wymagań określonych w *Rozporządzeniu Ministra Klimatu z dnia 17 lutego 2020 r. w sprawie sposobów sprawdzania dotrzymania dopuszczalnych poziomów pól elektromagnetycznych w środowisku (Dz. U. 2020, poz. 258 z późn. zm. w Dz.U. 2022 poz. 1121).*

6. Pomiary zostały wykonane przez:

Podstawek Łukasz
Supernak Jacek

7. Informacje o źródłach pól elektromagnetycznych

7.1. Sposób identyfikacji badanych źródeł pól elektromagnetycznych

Identyfikacji źródeł i parametrów technicznych dokonano na podstawie analizy dokumentacji dotyczącej zlecenia oraz obserwacji miejsca wykonywania badań.

7.2. Opis miejsca zainstalowania anten i urządzeń technicznych. Opis obiektu badań i jego otoczenia

Instalacja radiokomunikacyjna zlokalizowana jest na dachu. Anteny zawieszono na maszcie usytowanym na dachu budynku. Urządzenia sterujące oraz zasilające zainstalowano w szafie outdoor na dachu budynku. Wokół instalacji znajdują się, miasto, centrum, zabudowa wielorodzinna, lokale usługowe.

Instalacja radiokomunikacyjna jest obiektem bezobsługowym. Okresowe stanowiska pracy związane są z prowadzonymi w zależności od potrzeb konserwacjami, przeglądami, strojeniem i naprawami.

Sprawozdanie z badań bez pisemnej zgody laboratorium nie może być powielane inaczej niż w całości.
Wynik przedstawione w niniejszym sprawozdaniu odnoszą się wyłącznie do badanego obiektu i do warunków i konfiguracji urządzeń w dniu wykonywania pomiarów.

7.3. Parametry techniczne źródła pola elektromagnetycznego

Dane przedstawiające maksymalne parametry pracy instalacji przekazane przez zleceniodawcę:

Parametry systemu nadawczo-odbiorczego:

Charakterystyka promieniowania		kierunkowa					
Rzeczywisty czas pracy [h/dobę]		24					
Warunki pracy		znamionowe					
Rodzaj wytwarzanego pola		stacjonarne					
Lp.	Częstotliwość lub zakresy częstotliwości pracy [MHz]	Typ/producent anteny	liczba anten	Azymut [°]	kąt pochylenia* [°]	Wysokość środka elektrycznego anteny [m n.p.t.]	Równoważna moc promieniowana izotropowo (EIRP) [W]
1	800/900	ADU4515R0v01 Huawei	1	100	4/5	30.5	5957
2	2600	ADU4518R6v06 Huawei	1	100	4	30.5	9185
3	1800/2100	80010510v01 Kathrein	1	100	4/4	30.5	9895
4	1800/2100	80010510v01 Kathrein	1	220	3/3	28.2	7382
5	900	742264 Kathrein	1	220	4	30.5	1919
6	800/2600	ATR4518R13v06 Huawei	1	220	4/4	30.5	9864
7	1800/2100	80010510v01 Kathrein	1	325	1/1	28.2	7382
8	900	742264 Kathrein	1	325	2	30.5	1919
9	800/2600	ATR4518R13v06 Huawei	1	325	2/2	30.5	9864

* wskazane wartości kąta pochylenia anten, zgodnie z informacją uzyskaną od zleceniodawcy, są wartościami stałymi

Parametry radiolinii:

Charakterystyka promieniowania		kierunkowa					
Rzeczywisty czas pracy [h/dobę]		24					
Warunki pracy		znamionowe					
Rodzaj wytwarzanego pola		stacjonarne					
Lp.	Linia radiowa			Antena			
	Typ/Producent	Częstotliwość pracy [GHz]	Równoważna moc promieniowana izotropowo (EIRP) [W]	Typ/producent	Średnica anteny [m]	Azymut [°]	Wysokość zainstalowania n.p.t [m]
1.	NEC iPasolink 200 Harris Stratex	38	15	VHLP1-38 Andrew	0.3	240	29

7.4 Inne źródła pól elektromagnetycznych

Na podstawie informacji otrzymanych od użytkownika oraz obserwacji otoczenia miejsca wykonywania pomiarów stwierdzono występowanie innych źródeł pola-EM, pracujących w systemie: telefonii komórkowej (800MHz-2600MHz), linii radiowych (5GHz - 90GHz), które istotnie wpływają na wyniki pomiarów.

8. Opis pomiarów

8.1. Metoda badań

Zgodna z rozporządzeniem Ministra Klimatu z dnia 17 lutego 2020 r. w sprawie sposobów sprawdzania dotrzymania dopuszczalnych poziomów pól elektromagnetycznych w środowisku

Sprawozdanie z badań bez pisemnej zgody laboratorium nie może być powielane inaczej niż w całości.
Wynik przedstawione w niniejszym sprawozdaniu odnoszą się wyłącznie do badanego obiektu i do warunków i konfiguracji urządzeń w dniu wykonywania pomiarów.

(Dz. U. 2020, poz. 258 z późn. zm. w Dz.U. 2022 poz. 1121), określona w pkt 25 ppkt 1 załącznika do niniejszego rozporządzenia.

Zgodnie z art. 122a ust. 1b ustawy Prawo Ochrony Środowiska, w przypadku wprowadzenia na części albo całym terytorium Rzeczypospolitej Polskiej stanu nadzwyczajnego, o którym mowa w art. 228 ust. 1 Konstytucji Rzeczypospolitej Polskiej z dnia 2 kwietnia 1997 r. (Dz. U. poz. 483, z 2001 r. poz. 319, z 2006 r. poz. 1471 oraz z 2009 r. poz. 946), lub stanu zagrożenia epidemicznego lub stanu epidemii, o których mowa w art. 46 ustawy z dnia 5 grudnia 2008 r. o zapobieganiu oraz zwalczaniu zakażeń i chorób zakaźnych u ludzi (Dz. U. z 2019 r. poz. 1239, z późn. zm.8)), pomiarów , nie przeprowadza się w lokalach mieszkalnych oraz w lokalach użytkowych zlokalizowanych na terytorium objętym stanem nadzwyczajnym, stanem zagrożenia epidemicznego lub stanem epidemii.

W związku z obecnie obowiązującym stanem zagrożenia epidemicznego, pomiarów nie wykonano w lokalach mieszkalnych oraz w lokalach użytkowych zlokalizowanych w obszarze pomiarowym przedmiotowej instalacji radiokomunikacyjnej.

8.2. Termin pomiarów i warunki środowiskowe

Podczas wykonywania pomiarów pól elektromagnetycznych nie występowały opady atmosferyczne. Wyniki pomiaru parametrów pogodowych przedstawia poniższa tabela:

Data [rrrr-mm-dd]	Godzina [hh:mm-hh:mm]	Warunki środowiskowe			
		Temperatura [°C]		Wilgotność względna [%]	
2023-02-10	12:50-14:10	Przed pomiarem	Po pomiarach	Przed pomiarem	Po pomiarach
		1.5	1.8	70.9	69.5

Przedstawione wyżej warunki środowiskowe, występujące podczas wykonywania pomiarów pól elektromagnetycznych, są zgodne ze specyfikacją techniczną użytego zestawu pomiarowego.

8.3. Warunki pracy urządzeń nadawczych

Podczas pomiarów w przypadku uzyskania wyniku pomiaru szerokopasmowego wykonanego zastosowaną metodą, dla zakresów częstotliwości od 10 MHz do 300 GHz, powiększonego o rozszerzoną niepewność pomiaru U dla współczynnika rozszerzenia $k = 2$ przekraczającego 70% najniższej dopuszczalnej wartości składowej elektrycznej lub magnetycznej pola dla objętych pomiarami zakresów częstotliwości, uwzględnia się poprawki pomiarowe przekazane przez zleceniodawcę, umożliwiające uwzględnienie maksymalnych parametrów pracy instalacji zgodnie z pkt 7 załącznika do Rozporządzeniem Ministra Klimatu z dnia 17 lutego 2020 r. w sprawie sposobów sprawdzania dotrzymania dopuszczalnych poziomów pól elektromagnetycznych w środowisku (Dz. U. 2020, poz. 258 z późn. zm. w Dz.U. 2022 poz. 1121) zaznaczając, że wymagane jest wykonanie pomiaru z wykorzystaniem miernika selektywnego. W przypadku uzyskania wyniku pomiaru szerokopasmowego wykonanego zastosowaną metodą, dla zakresów częstotliwości od 10 MHz do 300 GHz, powiększonego o rozszerzoną niepewność pomiaru U dla współczynnika rozszerzenia $k = 2$ nieprzekraczającego 70% najniższej dopuszczalnej wartości składowej elektrycznej lub magnetycznej pola dla objętych pomiarami zakresów częstotliwości, nie uwzględnia się poprawek pomiarowych.

8.4. Wyposażenie pomiarowe

Zestaw pomiarowy służący do pomiaru natężenia składowej elektrycznej pola elektromagnetycznego złożony z szerokopasmowego miernika i sondy pomiarowej:

Oznaczenie miernika	Producent	Model	Numer fabryczny	Oznaczenie sondy	Producent	Model	Numer fabryczny
MW-05	Wavecontrol	Miernik pól elektromagnetycznych SMP2	22SN2087	SW-09	Wavecontrol	Sonda WPF60	22WP230220

Mierniki natężenia pola elektromagnetycznego podlegają okresowemu sprawdzeniu zgodnie z procedurą wewnętrzną P-03 i PB-01. Świadectwo wzorcowania zestawu pomiarowego z dnia 4 listopada 2022 o numerze LWIMP/W/336/22 wydane przez HIK-Consulting Krzysztof Kuc.

Data ważności świadectwa wzorcowania: 4 listopada 2024 (zgodnie z procedurą wewnętrzną P-03).

Termohigrometr:

Oznaczenie:	TH-16	Producent:	AZ INSTRUMENT CORP	Model:	Termohigrometr AZ8706
-------------	-------	------------	--------------------	--------	-----------------------

Data ważności świadectwa wzorcowania: 19 maja 2024 (zgodnie z procedurą wewnętrzną P-03).

Sprawozdanie z badań bez pisemnej zgody laboratorium nie może być powielane inaczej niż w całości.

Wynik przedstawione w niniejszym sprawozdaniu odnoszą się wyłącznie do badanego obiektu i do warunków i konfiguracji urządzeń w dniu wykonywania pomiarów.

Dalmierz:

Oznaczenie	Producent	Typ	Numer seryjny	Nr świadectwa wzorcowania	Data świadectwa wzorcowania
D-18	Leica	Dalmierz Leica Disto D510	1096585932	L4- L41.4180.205.2021.4102.2	16 grudnia 2021

Data ważności świadectwa wzorcowania: 16 grudnia 2031 (zgodnie z procedurą wewnętrzną P-03).

9. Wyniki pomiarów

Pole elektryczne

Nr pionu	Opis umiejscowienia pionu (punktu) pomiarowego	Wysokość pomiaru [m]	Zmierzona wartość natężenia pola elektrycznego E [V/m] ^{2,5}	Wartość natężenia pola elektrycznego powiększona o niepewność pomiaru ⁴ E [V/m]	Wskaźnikowa wartość poziomu emisji pól elektromagnetycznych WME ³	Współrzędne geograficzne pionu (punktu) pomiarowego ²
1	GKP w odległości 4m od anteny sektorowej az. 100°	0.3-2.0	<1.0*	1.6	0.06	50°19'23.2" 19°8'2.0"
2	GKP w odległości 12m od anteny sektorowej az. 100°	2.0	1.4	2.2	0.08	50°19'23.2" 19°8'2.0"
3	GKP w odległości 15m od anteny sektorowej az. 100°	2.0	1.5	2.4	0.08	50°19'23.2" 19°8'2.4"
4	GKP w odległości 35m od anteny sektorowej az. 100°	0.3-2.0	<1.0*	1.6	0.06	50°19'23.2" 19°8'3.5"
5	GKP w odległości 37m od anteny sektorowej az. 100°	0.3-2.0	<1.0*	1.6	0.06	50°19'23.2" 19°8'3.5"
6	GKP w odległości 70m od anteny sektorowej az. 100°	0.3-2.0	<1.0*	1.6	0.06	50°19'22.8" 19°8'5.3"
7	GKP w odległości 85m od anteny sektorowej az. 100°	0.3-2.0	<1.0*	1.6	0.06	50°19'22.8" 19°8'5.6"
8	GKP w odległości 23m od anteny sektorowej az. 325°	0.3-2.0	<1.0*	1.6	0.06	50°19'23.9" 19°8'1.0"
9	GKP w odległości 30m od anteny sektorowej az. 325°	0.3-2.0	<1.0*	1.6	0.06	50°19'24.2" 19°8'0.6"
10	GKP w odległości 49m od anteny sektorowej az. 325°	2.0	1.4	2.2	0.08	50°19'24.6" 19°8'0.2"
11	GKP w odległości 59m od anteny sektorowej az. 325°	2.0	1.6	2.5	0.09	50°19'25.0" 19°7'59.9"
12	GKP w odległości 80m od anteny sektorowej az. 325°	0.3-2.0	<1.0*	1.6	0.06	50°19'25.3" 19°7'59.2"
13	GKP w odległości 92m od anteny sektorowej az. 325°	0.3-2.0	<1.0*	1.6	0.06	50°19'25.7" 19°7'58.8"
14	GKP w odległości 23m od anteny radioliniowej az. 240°	2.0	1.3	2.1	0.07	50°19'22.8" 19°8'0.6"
15	GKP w odległości 82m od anteny radioliniowej az. 240°	0.3-2.0	<1.0*	1.6	0.06	50°19'21.7" 19°7'58.1"
16	GKP w odległości 14m od anteny sektorowej az. 220°	0.3-2.0	<1.0*	1.6	0.06	50°19'22.8" 19°8'1.0"
17	GKP w odległości 27m od anteny sektorowej az. 220°	2.0	1.6	2.5	0.09	50°19'22.4" 19°8'0.6"
18	GKP w odległości 31m od anteny sektorowej az. 220°	2.0	1.6	2.5	0.09	50°19'22.4" 19°8'0.6"
19	GKP w odległości 54m od anteny sektorowej az. 220°	0.3-2.0	<1.0*	1.6	0.06	50°19'21.7" 19°7'59.9"
20	GKP w odległości 56m od anteny sektorowej az. 220°	0.3-2.0	<1.0*	1.6	0.06	50°19'22.1" 19°7'59.5"
21	GKP w odległości 76m od anteny sektorowej az. 220°	0.3-2.0	<1.0*	1.6	0.06	50°19'21.4" 19°7'59.2"
22	GKP w odległości 96m od anteny sektorowej az. 220°	0.3-2.0	<1.0*	1.6	0.06	50°19'20.6" 19°7'58.4"
23	GKP w odległości 94m od anteny sektorowej az. 220°	0.3-2.0	<1.0*	1.6	0.06	50°19'21.0" 19°7'58.4"
24	PPP na az. 187° w odległości 48m od anteny sektorowej az. 220°	2.0	1.3	2.1	0.07	50°19'21.7" 19°8'1.3"
25	PPP na az. 114° w odległości 55m od anteny sektorowej az. 100°, narożnik budynku	0.3-2.0	<1.0*	1.6	0.06	50°19'22.4" 19°8'4.2"
26	PPP na az. 116° w	0.3-2.0	<1.0*	1.6	0.06	50°19'22.1"

Sprawozdanie z badań bez pisemnej zgody laboratorium nie może być powielane inaczej niż w całości.

Wynik przedstawione w niniejszym sprawozdaniu odnoszą się wyłącznie do badanego obiektu i do warunków i konfiguracji urządzeń w dniu wykonywania pomiarów.

	odległości 90m od anteny sektorowej az. 100°					19°8'5.6"
27	PPP na az. 179° w odległości 91m od anteny sektorowej az. 100°	0.3-2.0	<1.0*	1.6	0.06	50°19'20.3" 19°8'1.7"
28	PPP na az. 16° w odległości 52m od anteny sektorowej az. 100°	0.3-2.0	<1.0*	1.6	0.06	50°19'25.0" 19°8'2.4"
29	PPP na az. 24° w odległości 83m od anteny sektorowej az. 100°	0.3-2.0	<1.0*	1.6	0.06	50°19'25.7" 19°8'3.5"
30	PPP na az. 55° w odległości 66m od anteny sektorowej az. 325°, narożnik budynku	0.3-2.0	<1.0*	1.6	0.06	50°19'24.6" 19°8'4.2"
31	PPP na az. 206° w odległości 90m od anteny sektorowej az. 220°, narożnik budynku	0.3-2.0	<1.0*	1.6	0.06	50°19'20.6" 19°7'59.5"
32	PPP na az. 281° w odległości 30m od anteny radioliniowej az. 240°, narożnik budynku	0.3-2.0	<1.0*	1.6	0.06	50°19'23.5" 19°8'0.2"
33	PPP na az. 268° w odległości 80m od anteny radioliniowej az. 240°, narożnik budynku	0.3-2.0	<1.0*	1.6	0.06	50°19'23.2" 19°7'57.4"
34	PPP na az. 287° w odległości 84m od anteny radioliniowej az. 240°, narożnik budynku	0.3-2.0	<1.0*	1.6	0.06	50°19'23.9" 19°7'57.4"
35	DPP w otwartym oknie na klatce schodowej w budynku instalacji radiotelekomunikacyjnej, piętro 4/4	0.3-2.0	<1.0*	1.6	0.06	50°19'22.8" 19°8'1.7"
36	DPP w otwartym oknie na klatce schodowej w budynku instalacji radiotelekomunikacyjnej, piętro 4/4	0.3-2.0	<1.0*	1.6	0.06	50°19'23.5" 19°8'1.7"
37	DPP w otwartym oknie na klatce schodowej w budynku mieszkalnym, piętro 4/4	2.0	1.8	2.8	0.1	50°19'23.9" 19°8'2.4"
38	DPP w otwartym oknie na klatce schodowej w budynku mieszkalnym, piętro 4/4	0.3-2.0	<1.0*	1.6	0.06	50°19'23.9" 19°8'3.5"
39	DPP w otwartym oknie na klatce schodowej w budynku mieszkalnym, piętro 4/4	0.3-2.0	<1.0*	1.6	0.06	50°19'22.8" 19°8'2.0"
40	DPP w otwartym oknie na klatce schodowej w budynku mieszkalnym, piętro 4/4	0.3-2.0	<1.0*	1.6	0.06	50°19'22.1" 19°8'2.4"
41	DPP w otwartym oknie na klatce schodowej w budynku mieszkalnym, piętro 4/4	0.3-2.0	<1.0*	1.6	0.06	50°19'21.7" 19°7'58.8"
-	GKP w odległości 286m od anteny sektorowej az. 325°	0.3-2.0	<1.0*	1.6	0.06	50°19'31.1" 19°7'53.4"
-	GKP w odległości 254m od anteny sektorowej az. 100°	2.0	1.3	2.1	0.07	50°19'22.1" 19°8'14.3"
44	GKP w odległości 220m od anteny sektorowej az. 220°	0.3-2.0	<1.0*	1.6	0.06	50°19'17.8" 19°7'54.5"

Sprawozdanie z badań bez pisemnej zgody laboratorium nie może być powielane inaczej niż w całości.
Wynik przedstawione w niniejszym sprawozdaniu odnoszą się wyłącznie do badanego obiektu i do warunków i konfiguracji urządzeń w dniu wykonywania pomiarów.

Pole magnetyczne (wyznaczone na podstawie pomiaru wartości natężenia pola elektrycznego)

Nr pionu	Opis umiejscowienia pionu (punktu) pomiarowego	Wysokość pomiaru [m]	Wartość natężenia pola magnetycznego H [A/m] ¹	Wartość natężenia pola magnetycznego powiększona o niepewność pomiaru ⁴ H [A/m]	Wskaźnikowa wartość poziomu emisji pól elektromagnetycznych WM _H ³	Współrzędne geograficzne pionu (punktu) pomiarowego ²
1	GKP w odległości 4m od anteny sektorowej az. 100°	0.3-2.0	<0.003*	0.004	0.06	50°19'23.2" 19°8'2.0"
2	GKP w odległości 12m od anteny sektorowej az. 100°	2.0	0.004	0.006	0.08	50°19'23.2" 19°8'2.0"
3	GKP w odległości 15m od anteny sektorowej az. 100°	2.0	0.004	0.006	0.09	50°19'23.2" 19°8'2.4"
4	GKP w odległości 35m od anteny sektorowej az. 100°	0.3-2.0	<0.003*	0.004	0.06	50°19'23.2" 19°8'3.5"
5	GKP w odległości 37m od anteny sektorowej az. 100°	0.3-2.0	<0.003*	0.004	0.06	50°19'23.2" 19°8'3.5"
6	GKP w odległości 70m od anteny sektorowej az. 100°	0.3-2.0	<0.003*	0.004	0.06	50°19'22.8" 19°8'5.3"
7	GKP w odległości 85m od anteny sektorowej az. 100°	0.3-2.0	<0.003*	0.004	0.06	50°19'22.8" 19°8'5.6"
8	GKP w odległości 23m od anteny sektorowej az. 325°	0.3-2.0	<0.003*	0.004	0.06	50°19'23.9" 19°8'1.0"
9	GKP w odległości 30m od anteny sektorowej az. 325°	0.3-2.0	<0.003*	0.004	0.06	50°19'24.2" 19°8'0.6"
10	GKP w odległości 49m od anteny sektorowej az. 325°	2.0	0.004	0.006	0.08	50°19'24.6" 19°8'0.2"
11	GKP w odległości 59m od anteny sektorowej az. 325°	2.0	0.004	0.007	0.09	50°19'25.0" 19°7'59.9"
12	GKP w odległości 80m od anteny sektorowej az. 325°	0.3-2.0	<0.003*	0.004	0.06	50°19'25.3" 19°7'59.2"
13	GKP w odległości 92m od anteny sektorowej az. 325°	0.3-2.0	<0.003*	0.004	0.06	50°19'25.7" 19°7'58.8"
14	GKP w odległości 23m od anteny radioliniowej az. 240°	2.0	0.003	0.005	0.07	50°19'22.8" 19°8'0.6"
15	GKP w odległości 82m od anteny radioliniowej az. 240°	0.3-2.0	<0.003*	0.004	0.06	50°19'21.7" 19°7'58.1"
16	GKP w odległości 14m od anteny sektorowej az. 220°	0.3-2.0	<0.003*	0.004	0.06	50°19'22.8" 19°8'1.0"
17	GKP w odległości 27m od anteny sektorowej az. 220°	2.0	0.004	0.007	0.09	50°19'22.4" 19°8'0.6"
18	GKP w odległości 31m od anteny sektorowej az. 220°	2.0	0.004	0.007	0.09	50°19'22.4" 19°8'0.6"
19	GKP w odległości 54m od anteny sektorowej az. 220°	0.3-2.0	<0.003*	0.004	0.06	50°19'21.7" 19°7'59.9"
20	GKP w odległości 56m od anteny sektorowej az. 220°	0.3-2.0	<0.003*	0.004	0.06	50°19'22.1" 19°7'59.5"
21	GKP w odległości 76m od anteny sektorowej az. 220°	0.3-2.0	<0.003*	0.004	0.06	50°19'21.4" 19°7'59.2"
22	GKP w odległości 96m od anteny sektorowej az. 220°	0.3-2.0	<0.003*	0.004	0.06	50°19'20.6" 19°7'58.4"
23	GKP w odległości 94m od anteny sektorowej az. 220°	0.3-2.0	<0.003*	0.004	0.06	50°19'21.0" 19°7'58.4"

Sprawozdanie z badań bez pisemnej zgody laboratorium nie może być powielane inaczej niż w całości.
Wynik przedstawione w niniejszym sprawozdaniu odnoszą się wyłącznie do badanego obiektu i do warunków i konfiguracji urządzeń w dniu wykonywania pomiarów.

24	PPP na az. 187° w odległości 48m od anteny sektorowej az. 220°	2.0	0.003	0.005	0.07	50°19'21.7" 19°8'1.3"
25	PPP na az. 114° w odległości 55m od anteny sektorowej az. 100°, narożnik budynku	0.3-2.0	<0.003*	0.004	0.06	50°19'22.4" 19°8'4.2"
26	PPP na az. 116° w odległości 90m od anteny sektorowej az. 100°	0.3-2.0	<0.003*	0.004	0.06	50°19'22.1" 19°8'5.6"
27	PPP na az. 179° w odległości 91m od anteny sektorowej az. 100°	0.3-2.0	<0.003*	0.004	0.06	50°19'20.3" 19°8'1.7"
28	PPP na az. 16° w odległości 52m od anteny sektorowej az. 100°	0.3-2.0	<0.003*	0.004	0.06	50°19'25.0" 19°8'2.4"
29	PPP na az. 24° w odległości 83m od anteny sektorowej az. 100°	0.3-2.0	<0.003*	0.004	0.06	50°19'25.7" 19°8'3.5"
30	PPP na az. 55° w odległości 66m od anteny sektorowej az. 325°, narożnik budynku	0.3-2.0	<0.003*	0.004	0.06	50°19'24.6" 19°8'4.2"
31	PPP na az. 206° w odległości 90m od anteny sektorowej az. 220°, narożnik budynku	0.3-2.0	<0.003*	0.004	0.06	50°19'20.6" 19°7'59.5"
32	PPP na az. 281° w odległości 30m od anteny radioliniowej az. 240°, narożnik budynku	0.3-2.0	<0.003*	0.004	0.06	50°19'23.5" 19°8'0.2"
33	PPP na az. 268° w odległości 80m od anteny radioliniowej az. 240°, narożnik budynku	0.3-2.0	<0.003*	0.004	0.06	50°19'23.2" 19°7'57.4"
34	PPP na az. 287° w odległości 84m od anteny radioliniowej az. 240°, narożnik budynku	0.3-2.0	<0.003*	0.004	0.06	50°19'23.9" 19°7'57.4"
35	DPP w otwartym oknie na klatce schodowej w budynku instalacji radiotelekomunikacyjnej, piętro 4/4	0.3-2.0	<0.003*	0.004	0.06	50°19'22.8" 19°8'1.7"
36	DPP w otwartym oknie na klatce schodowej w budynku instalacji radiotelekomunikacyjnej, piętro 4/4	0.3-2.0	<0.003*	0.004	0.06	50°19'23.5" 19°8'1.7"
37	DPP w otwartym oknie na klatce schodowej w budynku mieszkalnym, piętro 4/4	2.0	0.005	0.008	0.1	50°19'23.9" 19°8'2.4"
38	DPP w otwartym oknie na klatce schodowej w budynku mieszkalnym, piętro 4/4	0.3-2.0	<0.003*	0.004	0.06	50°19'23.9" 19°8'3.5"
39	DPP w otwartym oknie na klatce schodowej w budynku mieszkalnym, piętro 4/4	0.3-2.0	<0.003*	0.004	0.06	50°19'22.8" 19°8'2.0"
40	DPP w otwartym oknie na klatce schodowej w budynku mieszkalnym, piętro 4/4	0.3-2.0	<0.003*	0.004	0.06	50°19'22.1" 19°8'2.4"
41	DPP w otwartym oknie na klatce schodowej w budynku mieszkalnym, piętro 4/4	0.3-2.0	<0.003*	0.004	0.06	50°19'21.7" 19°7'58.8"
-	GKP w odległości 286m od anteny sektorowej az. 325°	0.3-2.0	<0.003*	0.004	0.06	50°19'31.1" 19°7'53.4"
-	GKP w odległości 254m od anteny sektorowej az. 100°	2.0	0.003	0.005	0.07	50°19'22.1" 19°8'14.3"
44	GKP w odległości 220m od anteny sektorowej az. 220°	0.3-2.0	<0.003*	0.004	0.06	50°19'17.8" 19°7'54.5"

Sprawozdanie z badań bez pisemnej zgody laboratorium nie może być powielane inaczej niż w całości.
Wynik przedstawione w niniejszym sprawozdaniu odnoszą się wyłącznie do badanego obiektu i do warunków i konfiguracji urządzeń w dniu wykonywania pomiarów.

GKP – Główny Kierunek Pomiarowy
DPP – Dodatkowy Pion Pomiarowy
PPP – Pomocniczy Pion pomiarowy

¹ wyniki oznaczone * są wynikami poniżej czułości zestawu pomiarowego

² współrzędne geograficzne pozyskane metodą pomiaru bezpośredniego

³ do wyznaczenia wartości wskaźnikowej WM_E i WM_H przyjęto na podstawie uzgodnień z klientem oraz rozpoznania źródeł, jako wartości dopuszczalne pola elektrycznego i magnetycznego odpowiednio 28 V/m i 0,073 A/m.

⁴ do wyznaczenia niepewności dla wyników poniżej czułości zestawu pomiarowego, przyjęto niepewność dla minimalnej wartości z zakresu pomiarowego.

⁵ maksymalna wartość chwilowa

Niepewność oszacowano zgodnie z dokumentem P-03 „Procedura nadzoru nad wyposażeniem” w postaci niepewności rozszerzonej wynikającej z niepewności standardowej pomnożonej przez współczynnik rozszerzenia $k=2$.

Całkowita szacowana niepewność rozszerzona składowej E wynosi odpowiednio: 58% dla częstotliwości do 40 GHz

Umieszczenie pionów (punktów) pomiarowych przedstawiono w załączniku nr 2 do niniejszego sprawozdania.

10. Omówienie wyników pomiarów

W związku z tym, że żadna z wartości zmierzonych, udokumentowanych w tabelach w pkt. 9, uzyskanych w skutek zastosowania pomiaru szerokopasmowego, powiększonego o rozszerzoną niepewność pomiaru U dla współczynnika rozszerzenia $k = 2$ nie przekroczyła 70% najniższej dopuszczalnej wartości składowej elektrycznej lub magnetycznej pola dla objętych pomiarami zakresów częstotliwości, nie uwzględnia się poprawek pomiarowych.

W wyniku zastosowania sposobu sprawdzenia dotrzymania dopuszczalnych poziomów pól elektromagnetycznych w środowisku, zgodnie pkt 25 ppkt 1 Rozporządzenia Ministra Klimatu z dnia 17 lutego 2020 r. (Dz. U. 2020, poz. 258 z późn. zm. w Dz.U. 2022 poz. 1121), w związku z tym, że żadna z wartości wskaźnikowych, udokumentowanych w tabelach w pkt. 9 nie przekracza wartości 1, stwierdza się, że w miejscach, w których wykonano pomiary w otoczeniu instalacji radiokomunikacyjnej 50209 (32209N!) KKA_BEDZIN_PLAC3MAJA, dopuszczalne poziomy pól elektromagnetycznych w środowisku należy uznać za dotrzymane.

11. Podstawa prawna

- 1) Ustawa z dnia 27 kwietnia 2001 r. Prawo ochrony środowiska (t. j. Dz. U. z 2021 r., poz. 1973 z późn.zm.)
- 2) Rozporządzenie Ministra Zdrowia z dnia 17 grudnia 2019 r. w sprawie dopuszczalnych poziomów pól elektromagnetycznych w środowisku (Dz. U. 2019, poz. 2448)
- 3) Rozporządzenie Ministra Klimatu z dnia 17 lutego 2020 r. w sprawie sposobów sprawdzania dotrzymania dopuszczalnych poziomów pól elektromagnetycznych w środowisku (Dz. U. 2020, poz. 258 z późn. zm. w Dz.U. 2022 poz. 1121),
- 4) Akredytacja nr AB 419 wydana przez Polskie Centrum Akredytacji (wydanie 20, z dnia 10 czerwca 2022r.).

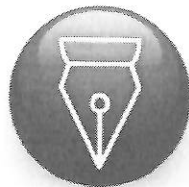
Sprawozdanie z badań bez pisemnej zgody laboratorium nie może być powielane inaczej niż w całości.
Wynik przedstawione w niniejszym sprawozdaniu odnoszą się wyłącznie do badanego obiektu i do warunków i konfiguracji urządzeń w dniu wykonywania pomiarów.

12. Spis załączników

- Załącznik 1. Lokalizacja obiektu badań
- Załącznik 2. Usytuowanie pionów (punktów) pomiarowych
- Załącznik 3. Dokumentacja fotograficzna obiektu badań

13. Data wydania i autoryzowania sprawozdania

Obliczenia i sprawozdanie wykonał :



Signed by /
Podpisano przez:

Agnieszka
Harbacewicz

Date / Data: 2023-
02-21 09:07

Sprawozdanie autoryzował:



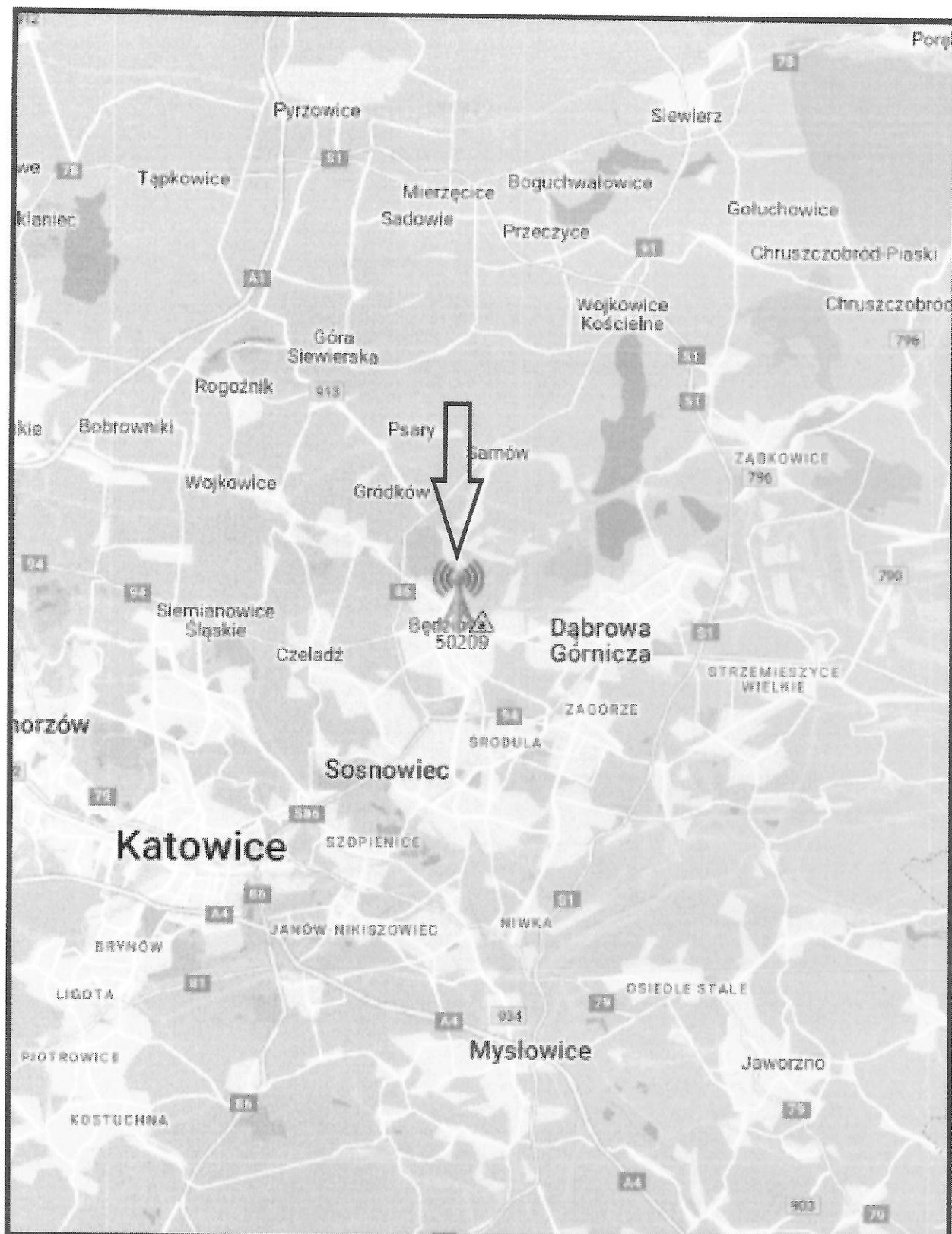
Signed by /
Podpisano przez:

Agnieszka
Wachowicz

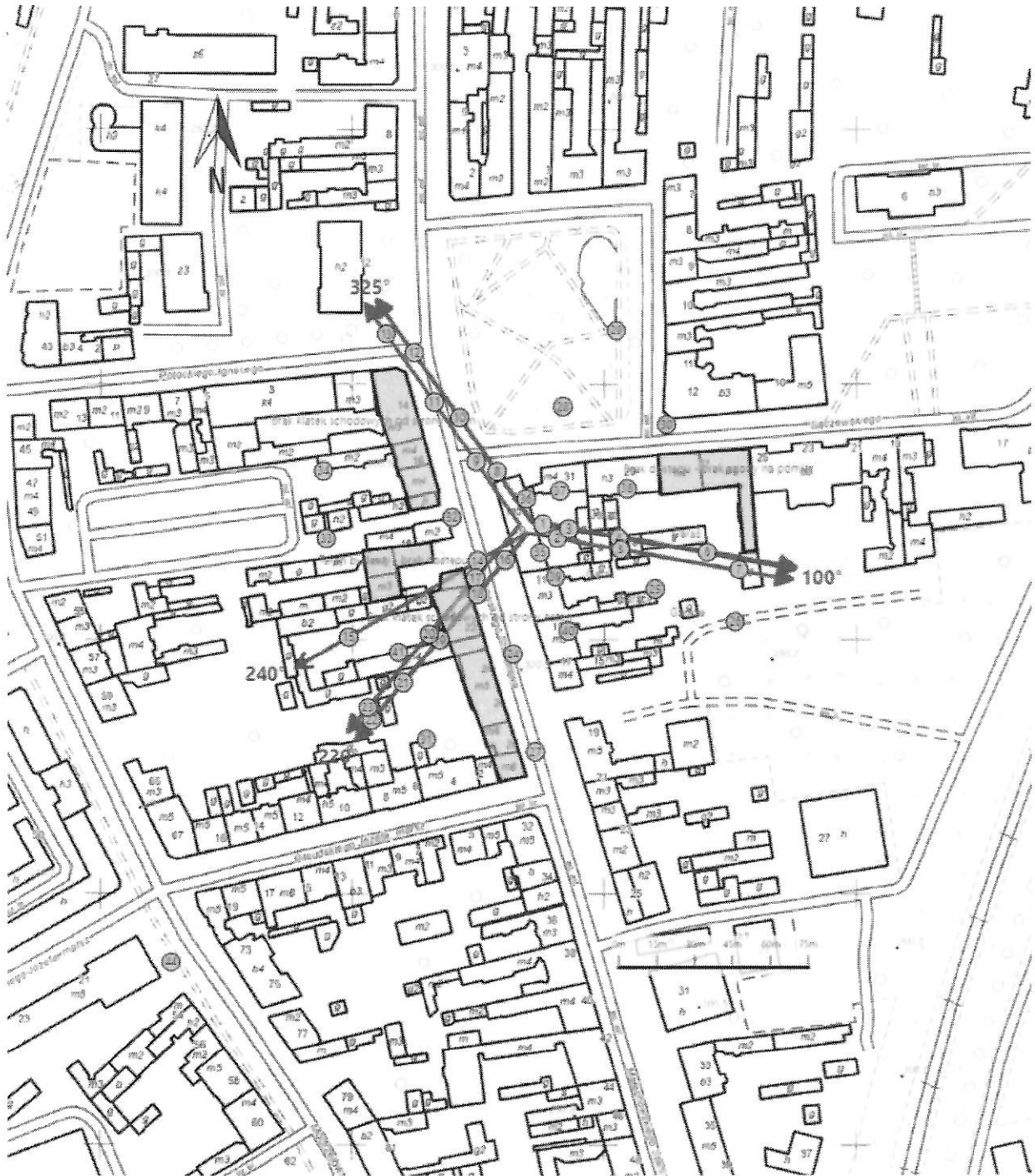
Date / Data:
2023-02-22 11:30




Koniec sprawozdania

Sprawozdanie z badań bez pisemnej zgody laboratorium nie może być powielane inaczej niż w całości.
Wynik przedstawione w niniejszym sprawozdaniu odnoszą się wyłącznie do badanego obiektu i do warunków i konfiguracji urządzeń w dniu wykonywania pomiarów.



Załącznik nr 1	INSTALACJA RADIOKOMUNIKACYJNA T-Mobile Polska S.A. 50209 (32209N!) KKA_BEDZIN_PLAC3MAJA Lokalizacja instalacji radiokomunikacyjnej
----------------	--



<p>Załącznik nr 2</p>	<p>Instalacja radiokomunikacyjna T-Mobile Polska S.A. KKA_BEDZIN_PLAC3MAJA (32209N!)</p> <p>Usytuowanie pionów pomiarowych w otoczeniu instalacji radiokomunikacyjnej</p>
	<p>Legenda:</p> <div style="display: flex; justify-content: space-around; align-items: center;"> <div style="text-align: center;">  <p>Pion pomiarowy</p> </div> <div style="text-align: center;">  <p>Kierunek oddziaływania anten sektorowych</p> </div> <div style="text-align: center;">  <p>Kierunek oddziaływania anten radioliniowych</p> </div> </div>